

## 【产品开发与设计】

## 基于 Simulink/S-Function 的惯性导航系统的仿真

赵芳,李永红

(中北大学 信息与通信工程学院,太原 030051)

摘要:利用 Simulink 和 C 语言编写的 S-函数对惯性导航系统进行建模和仿真,并通过 Matlab 命令窗口进行了验证,仿真和试验结果一致度比较高,证明了该方法的正确性和可行性.

关键词:S-Function;惯性导航系统;建模;仿真

中图分类号:V24 文献标识码:A 文章编号:1006-0707(2008)01-0086-04

惯性导航技术是集现代数学、现代控制理论与计算机技术于一体的一项综合性新技术,其算法比较复杂,矩阵计算较多.因此使用一般的编程软件实现起来比较困难,同时,在惯性导航领域中,对低成本的要求日趋明显和迫切,但对试验的要求却越来越严格和苛刻,高昂的试验费用,繁琐的试验过程,费时费力,如果只是算法或其它非试验方法本身的问题而导致重新试验,则代价有些太大.因此,本研究考虑了使用 Simulink 来进行仿真,以避免上述问题的出现.

## 1 用 C 语言编写的 S-Function

用 C 语言编写的 S-函数具有很多优点:执行速度快,可以实时生成代码,可以包含已有的 C 代码,能够访问操作系统接口,还可以编写设备驱动程序.所以本研究采用了 c 文件的形式编写 S-Function 代码.它需要先编译成可以在 Matlab 内运行的二进制代码(动态链接库或者静态库),然后才能使用,这些经过编译的二进制文件即是所谓的 MEX 文件,在 Windows 系统下 MEX 文件后缀为 dll.使用的命令为:mex-setup(选择编译器);mex my\_sfunction.c(转换文件).与编写 M 文件的 S-函数一样,Simulink 同样为用户提供了编写 C MEX S-函数所需的模板,文件 sfuntmpl\_doc.c 则包含了所有的例程,并附有详细的注释.

## 2 建模过程

设机体坐标系相对平台坐标系的转动四元数为:

$$Q = q_0 + q_1 + ib + q_2 \cdot jb + q_3 \cdot kb$$

Q 的即时修正可通过解下面的四元数微分方程来实现:

$$\begin{bmatrix} \dot{q}_0 \\ \dot{q}_1 \\ \dot{q}_2 \\ \dot{q}_3 \end{bmatrix} = \frac{1}{2} \begin{bmatrix} 0 & -w_{p_{1x}}^b & -w_{p_{1y}}^b & -w_{p_{1z}}^b \\ w_{p_{1x}}^b & 0 & w_{p_{1y}}^b & -w_{p_{1z}}^b \\ w_{p_{1y}}^b & -w_{p_{1x}}^b & 0 & w_{p_{1z}}^b \\ w_{p_{1z}}^b & w_{p_{1y}}^b & -w_{p_{1x}}^b & 0 \end{bmatrix} \begin{bmatrix} q_0 \\ q_1 \\ q_2 \\ q_3 \end{bmatrix}$$

\* 收稿日期:2007-10-29

作者简介:赵芳(1981—),女,河北衡水人,硕士研究生,主要从事惯性导航系统的研究.

由上式求出  $q_0, q_1, q_2, q_3$  可以得到捷联矩阵  $T$ :

$$T = \begin{bmatrix} q_0^2 + q_1^2 - q_2^2 - q_3^2 & 2 \cdot (q_1 + q_2 - q_0 \cdot q_3) & 2 \cdot (q_1 \cdot q_3 + q_0 \cdot q_2) \\ 2 \cdot (q_1 \cdot q_2 + q_0 \cdot q_3) & q_0^2 - q_1^2 + q_2^2 - q_3^2 & 2 \cdot (q_2 \cdot q_3 + q_0 \cdot q_1) \\ 2 \cdot (q_1 \cdot q_2 - q_0 \cdot q_2) & 2 \cdot (q_2 \cdot q_3 + q_0 \cdot q_1) & q_0^2 - q_1^2 - q_2^2 + q_3^2 \end{bmatrix}$$

加速度计测量的比力  $f^b$  通过矩阵  $T$  转换为  $f^p$ , 即

$$\begin{bmatrix} f_x^p \\ f_y^p \\ f_z^p \end{bmatrix} = \begin{bmatrix} T_{11} & T_{12} & T_{13} \\ T_{21} & T_{22} & T_{23} \\ T_{31} & T_{32} & T_{33} \end{bmatrix} \begin{bmatrix} f_x^b \\ f_y^b \\ f_z^b \end{bmatrix}$$

速度  $V$  的即时修正可通过解如下的微分方程来完成:

$$\begin{bmatrix} \dot{V}_x^p \\ \dot{V}_y^p \\ \dot{V}_z^p \end{bmatrix} = \begin{bmatrix} f_x^p \\ f_y^p \\ f_z^p \end{bmatrix} - \begin{bmatrix} 0 \\ 0 \\ g \end{bmatrix}$$

位置矩阵的即时修正:

$$\begin{bmatrix} C_{11} & C_{12} & C_{13} \\ C_{21} & C_{22} & C_{23} \\ C_{31} & C_{32} & C_{33} \end{bmatrix} = \begin{bmatrix} 0 & 0 & -w_{epy}^p \\ 0 & 0 & -w_{epx}^p \\ w_{epy}^p & -w_{epx}^p & 0 \end{bmatrix} \begin{bmatrix} C_{11} & C_{12} & C_{13} \\ C_{21} & C_{22} & C_{23} \\ C_{31} & C_{32} & C_{33} \end{bmatrix}$$

姿态角的计算. 姿态角可以表示成  $\varphi_C, \theta, \gamma$  的关系, 即

$$T = \begin{bmatrix} \cos\gamma \cdot \cos\varphi_C - \sin\gamma \cdot \sin\theta \cdot \sin\varphi_C & -\cos\gamma \cdot \sin\theta \cdot \varphi_C & \sin\gamma \cdot \cos\varphi_C + \cos\gamma \cdot \sin\theta \\ \cos\gamma \cdot \sin\varphi_C - \sin\gamma \cdot \sin\theta \cdot \cos\varphi_C & -\cos\theta \cdot \cos\gamma \cdot \varphi_C & \sin\gamma \cdot \cos\varphi_C + \cos\gamma \cdot \sin\theta \\ -\sin\gamma \cdot \cos\theta & \sin\theta & \cos\gamma \cdot \cos\theta \end{bmatrix}$$

由上式中所表示的矩阵  $T$  的元素  $T_{11}, T_{22}, T_{31}, T_{32}, T_{33}$  可用下式计算  $\varphi_C, \theta, \gamma$  的主值:

$$\begin{aligned} \theta_z &= \arcsin^{-1} T_{32} \\ \gamma_z &= \arctan^{-1} \frac{-T_{31}}{T_{33}} \\ \varphi_{Cz} &= \arctan^{-1} \frac{-T_{12}}{T_{22}} \end{aligned}$$

由  $\theta_z, \gamma_z, \varphi_{Cz}$  判断其真值  $\theta, \gamma, \varphi_C$  的公式是

$$\theta = \theta_z$$

$$\gamma = \begin{cases} \gamma_z & T_{33} > 0 \\ \begin{cases} \gamma_z + 180^\circ \\ \gamma_z - 180^\circ \end{cases} & T_{33} < 0 \end{cases} \begin{cases} \gamma_z < 0 \\ \gamma_z > 0 \end{cases}$$

$$\varphi_C = \begin{cases} \varphi_{Cz} & T_{22} < 0 \\ \begin{cases} \varphi_{Cz} + 360^\circ \\ \varphi_{Cz} + 360^\circ \end{cases} & T_{22} > 0 \end{cases} \begin{cases} \varphi_{Cz} < 0 \\ \varphi_{Cz} > 0 \end{cases}$$

位置计算. 位置矩阵可以表示成  $\varphi, \beta, \alpha$  的关系, 即

$$C = \begin{bmatrix} -\sin\alpha \cdot \sin\varphi \cdot \cos\beta - \cos\alpha \cdot \sin\beta & -\sin\alpha \cdot \sin\varphi \cdot \sin\beta + \cos\alpha \cdot \cos\beta & \sin\alpha \\ -\cos\alpha \cdot \sin\varphi \cdot \cos\beta - \sin\alpha \cdot \sin\beta & \cos\alpha \cdot \sin\varphi \cdot \sin\beta - \sin\alpha \cdot \cos\beta & \cos\alpha \\ \cos\varphi \cdot \cos\beta & \cos\varphi \cdot \sin\beta & \sin\alpha \end{bmatrix}$$

根据位置矩阵  $C$  的元素  $C_{13}, C_{23}, C_{31}, C_{32}, C_{33}$  可由下式计算  $\varphi, \beta, \alpha$  的主值:

$$\begin{aligned} \varphi_z &= \arcsin^{-1} C_{33} \\ \beta_z &= \arctan^{-1} \frac{C_{32}}{C_{31}} \\ \alpha_z &= \arctan^{-1} \frac{C_{13}}{C_{23}} \end{aligned}$$

由  $\varphi_z, \beta_z, \alpha_z$  判断其真值  $\varphi, \beta, \alpha$  的公式是

$$\varphi = \varphi_z$$

$$\beta = \begin{cases} \beta_z & C_{31} > 0 \\ \beta_z + 180^\circ & C_{31} < 0 \text{ and } \beta_z < 0 \\ \beta_z - 180^\circ & C_{31} < 0 \text{ and } \beta_z > 0 \end{cases}$$

$$\alpha = \begin{cases} \alpha_z & C_{23} > 0 \\ \alpha_z + 360^\circ & C_{23} < 0 \text{ and } \alpha_z < 0 \\ \alpha_z + 360^\circ & C_{23} < 0 \text{ and } \alpha_z > 0 \end{cases}$$

其中:下标  $i$  表示惯性系;  $e$  表示地球系;  $t$  表示地理系;  $b$  表示机体系;  $p$  表示平台系。

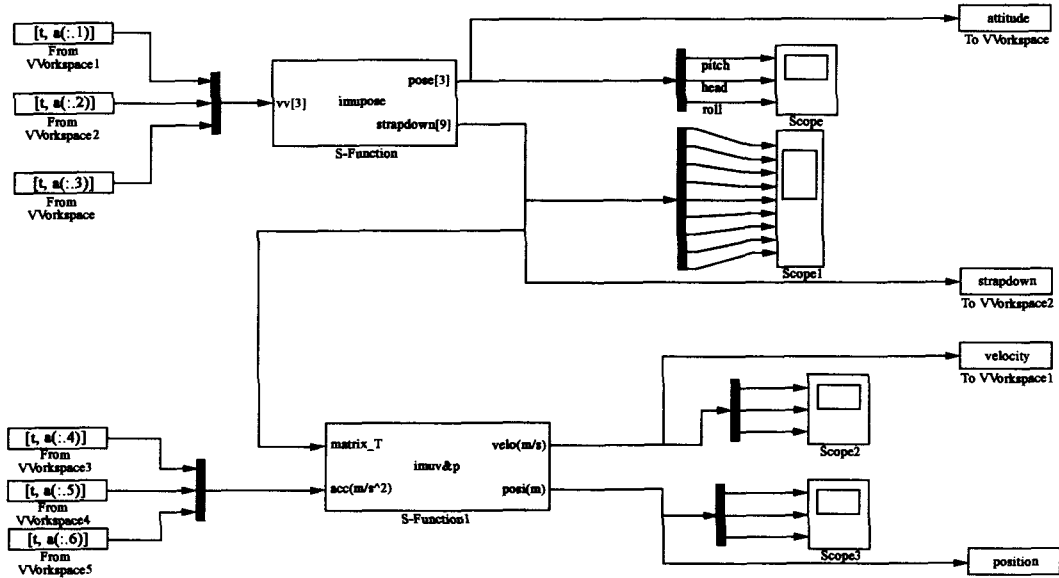


图 1 系统连接

系统连接如图 1 所示,系统建好之后就该编辑 S-Function 的程序代码了,新建一个 c 文件,拷入库中提供的 S-Function 的模板,在相应的地方修改和添加系统实际用到的输入、输出参数及相应的程序代码,其中第 1 个 S-Function 的初始化程序如下:

```
static void mdlInitializeSizes(SimStruct *S)
{ /* See sfuntmpl_doc.c for more details on the macros below */
  ssSetNumSFcnParams(S, 4); /* Number of expected parameters */
  if (ssGetNumSFcnParams(S) != ssGetSFcnParamsCount(S)) {
    /* Return if number of expected != number of actual parameters */
    return;
  }
  else
  { mdlCheckParameters(S); }
}

int iParam = 0;
int nParam = ssGetNumSFcnParams(S);
for ( iParam = 0; iParam < nParam; iParam ++ )
  { ssSetSFcnParamTunable( S, iParam,
SS_PRM_SIM_ONLY_TUNABLE ); }
}
ssSetNumContStates(S, 0);
```

```

ssSetNumDiscStates(S, 3);
if (! ssSetNumInputPorts(S, 1)) return;
ssSetInputPortWidth(S, 0, 3);
ssSetInputPortRequiredContiguous(S, 0, true); /* direct input signal access */
ssSetInputPortDirectFeedThrough(S, 0, 1);
if (! ssSetNumOutputPorts(S, 2)) return;
ssSetOutputPortWidth(S, 0, 3);
ssSetOutputPortWidth(S, 1, 9);
ssSetNumSampleTimes(S, 1);
ssSetNumRWork(S, 0);
ssSetNumIWork(S, 0);
ssSetNumPWork(S, 0);
ssSetNumModes(S, 0);
ssSetNumNonsampledZCs(S, 0);
ssSetOptions(S, SS_OPTION_EXCEPTION_FREE_CODE);
}

```

### 3 仿真结果

下面是某次试验的数据,仿真结果如图 2 所示. 然后再在 Matlab 命令窗口画出试验时导航计算机输出的速度、位置、姿态角的曲线,经比较,2 组曲线完全一致,证明模型仿真正确、可行.

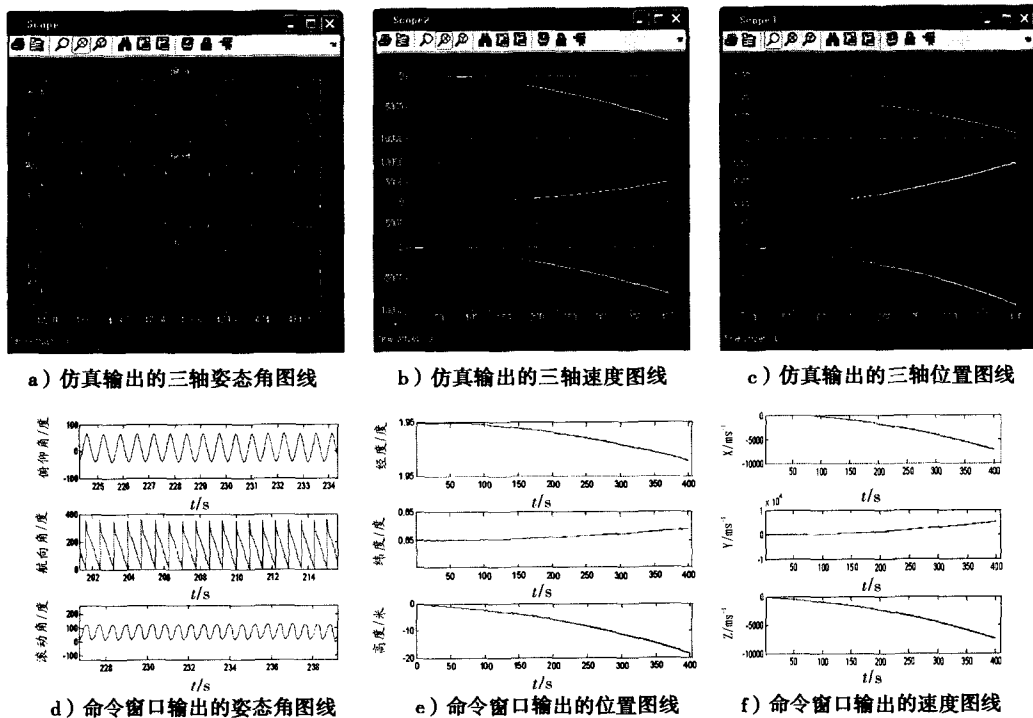


图 2 仿真结果

### 参考文献:

- [1] 陈杰. MATLAB 宝典[M]. 北京:电子工业出版社,2007:439-625.
- [2] 陈桂明,张明照. 应用 MATLAB 建模与仿真[M]. 北京:科学出版社,2000:50-398.
- [3] 崔中兴. 惯性导航系统[M]. 北京:国防工业出版社,1982:35-293.
- [4] 陈哲. 捷联惯导系统原理[M]. 北京:宇航出版社,1986:9-212.